Volume 32 Number 3

2022年3月 March 2022

DOI: 10.11817/j.ysxb.1004.0609.2021-36697



Si、Er对Al-Zr合金时效析出行为的影响

梁上上,文胜平,刘祺祥,吴晓蓝,高坤元,黄 晖,聂祚仁 (北京工业大学 材料与制造学部, 北京 100124)

摘 要:本文采用传统铸锭冶金的方法制备不同Si和Er含量的Al-Zr合金,研究Si和Er对Al-Zr合金时效 析出行为的影响。结果表明: Si的添加促进了Al-Zr合金的时效硬化响应, Si大大降低第二相Al₃Zr的析出 温度。Al-0.25Zr-0.30Si 合金在325 ℃等温时效时获得最佳时效强化增量,最高硬度值达到57.1HV,较其固 溶态合金增加25.8 HV。Al-Zr合金获得最佳时效硬化增量的Si含量为0.30%(质量分数)。Er的添加进一步 促进 Al-Zr 合金的时效响应,拓宽了 Al-Zr 合金时效析出温度范围(325~375 ℃),析出相变得更加细密。Al-0.25Zr-0.30Si-0.25Er 合金在350 ℃等温时效时获得最大时效强化增量,最高硬度值达到60.5 HV,这主要是 由于Si、Er复合微合金化比单独添加Si更能提高Al-Zr合金沉淀相的数量密度并细化其尺寸。

关键词: Al-Zr合金; 析出相; 时效强化; 微合金化

文章编号: 1004-0609(2022)-03-0619-11

中图分类号: TG146.2

文献标志码: A

引文格式:梁上上,文胜平,刘祺祥,等. Si、Er对Al-Zr合金时效析出行为的影响[J]. 中国有色金属学报, 2022, 32(3): 619-629. DOI: 10.11817/j.ysxb.1004.0609.2021-36697

LIANG Shang-shang, WEN Sheng-ping, LIU Qi-xiang, et al. Effect of Si and Er on aging precipitation behavior of Al-Zr alloys[J]. The Chinese Journal of Nonferrous Metals, 2022, 32(3): 619 - 629. DOI: 10.11817/j. ysxb.1004.0609.2021-36697

锆(Zr)元素常作为微合金化元素添加到铝合金 中,能有效提高铝合金的高温稳定性[1]。Al-Zr系合 金具有良好的热稳定性, HAUGAN 等[2]较早开始 研究Al-Zr二元合金体系。有研究表明, Zr与Al能 够形成亚稳的L1,结构Al,Zr相,该相具有优异的热 稳定性^[3]; Al₃Zr 相在 375 ℃以上才开始析出且在 400 ℃长期热暴露时能够保持稳定,长期保温在 500 ℃以上才能完成从L1,亚稳态到D0,,稳定态结 构的转变[4]。二元 Al-0.08%Zr(摩尔分数)合金在 350 ℃等温时效 500 h后, 合金依然没有出现任何 时效硬化现象[5]。由于Zr在Al中扩散速率极为缓 慢, 在400 ℃下仅为1.20×10⁻²⁰ m²/s, 比Al的自扩 散速率低了5个数量级[6]; 低的扩散速率尽管对抑

制析出相粗化有利,它有效限制了扩散控制的 Ostawald 熟化速率,但也因此限制了固溶 Zr 原子从 Al基体中的脱溶,使其在时效过程中难以充分析出 Al,Zr强化相^[7]。Zr在铝基体中固溶度非常小,最大 固溶度(质量分数)为0.28%[8]。较小的固溶度有利于 增大析出相在时效温度的形核驱动力; Al,Zr与Al 基体的晶格常数错配度为0.75%,较低的界面能使 析出相在高温下保持稳定。如何加快Zr从Al基体 中脱溶的速率,成为发挥Al-Zr合金应用潜力的重 要问题。

硅(Si)作为铝合金中含量较高的杂质元素,其 对Al₂Zr析出相形核与长大的影响受到普遍关 注^[9-10]。HORI等^[9]的研究表明,Si能够加速Al-Zr

基金项目: 国家自然科学基金资助项目(51671005, 51701006, 51621003); 现代交通金属材料与加工技术北京实验室项目

收稿日期: 2021-02-25; 修订日期: 2021-09-03

通信作者: 文胜平,副研究员,博士;电话: 13552521441; E-mail: wensp@bjut.edu.cn

合金析出动力学过程并促进析出强化。DUNAND等[II-I2]研究发现,Si可以促进Al-Sc-Zr和Al-Sc-Er-Zr合金中Al₃(Sc, Zr)复合相的析出形核,Si与V(空位)或其他溶质原子结合形成的团簇常作为强化相异质形核的核心,能够提高析出相数量密度。郭占英等[I3]的研究也表明Si可加速含Zr的7105合金中Al₃Zr的析出,促进析出强化并延缓7105合金的再结晶过程。本课题组以前的研究^[14]发现,在Al-Zr合金中同时添加Yb和Si产生了明显的时效硬化,合金的热稳定性和抗再结晶性均能得到提高,因此在Al-Zr二元合金中添加Si有望改善Zr原子不能充分脱溶的问题。

由于Sc和Zr相互之间能够发生复合微合金化作用,形成Al₃(Sc, Zr)相,因此在铝合金中添加Sc和Zr可有效抑制再结晶,提高再结晶温度,大幅度提高合金的力学性能^[15-18]。相对廉价的Er元素具有与Sc类似的微合金化作用,Er和Zr复合微合金化能够形成核-壳结构的Al₃(Er, Zr)相;核-壳结构的心部为扩散较快的Er原子富集区,而外壳层为扩散缓慢的Zr原子富集区^[19-21]。这种结构的析出相同样具有较好的热稳定性,能有效提高铝合金的耐热性能。Er元素在Al中的扩散速率介于Si和Zr的之间。在Al-Zr-Si合金中添加Er,可能会调和添加Si引起的Al₃Zr粗化加快与不加Si时Zr不能充分析出之间的矛盾。Si和Er复合微合金化如果形成了Al₃(Er, Zr)相,那么它既可以保证Zr的快速脱溶又可以使析出的第二相不至于过快粗化。

基于以上分析可知,深入探索 Si 和 Er 在 Al-Zr 合金中时效析出的作用机制对于新型耐热合金的研发具有重要意义。为此,本文设计了不同 Si 和 Er 含量的 Al-Zr 合金,研究其等温时效行为及微观组织演变,寻找 Al-Zr 合金获得最大强化增量时 Si 和 Er 最优添加量以及最佳时效温度,以期对耐热高强铝合金的开发提供科学依据。

1 实验

实验合金采用传统铸锭冶金的方法制备,原料为高纯铝(99.999%,质量分数),合金元素 Zr、Si、Er 均以中间合金(Al-10Zr、Al-27Si、Al-6Er,质量分数,%)的形式加入。将高纯铝加热到 780~800 $^{\circ}$ 熔化,之后加入中间合金,用 C_2Cl_6 除气,随后保

温静置30 min,扒渣后用铁模浇铸最后冷却至室温。合金化学成分如表1所示,分别标记为1[#]、2[#]、3[#]、4[#]、5[#]合金。需要说明的是,Er实际是按照其最大固溶度添加的。由于本课题组以前的研究^[22]也表明该添加量最优,因此,在本文中只讨论了添加Er或者不添加Er的影响,主要是探究了Si的最优添加量。

表1 实验合金的成分

Table 1 Composition of experimental alloys

Alloy	Nominal composition	Mass fraction/%			
No.		Zr	Si	Er	Al
1#	Al0.25Zr0.15Si	0.24	0.15	_	Bal.
2#	Al0.25Zr0.30Si	0.26	0.29	_	Bal.
3#	Al0.25Zr0.50Si	0.25	0.52	-	Bal.
4#	Al0.25Zr0.15Si0.25Er	0.26	0.16	0.24	Bal.
5#	Al0.25Zr0.30Si0.25Er	0.23	0.32	0.27	Bal.

合金铸锭切头铣面后用线切割机切制成10 mm×10 mm×5 mm的立方块。采用空气循环电阻炉 在625 ℃保温24 h进行固溶处理,经冷水淬火至室 温后分别在325 ℃、350 ℃、375 ℃进行等温时效 处理。对经过时效处理后的样品进行显微硬度和电 导率测试。显微硬度测试采用HXD-1000TM/LCD 型显微硬度计,电导率采用FOERSTER型便携式 电导率测试仪(SIGMATESTR2.069)。为保证实验 准确性, 硬度值和电导率均为5次测量后取平均 值。透射样品采用电解双喷法制备,首先将切成1 mm厚的薄片机械预减薄至50~80 μm, 然后用冲孔 器冲减成直径为3 mm的圆片, 在型号为 StruersTenuPol-2的双喷仪上进行电解双喷减薄。 电解液为25%HNO3+75%CH3OH(体积分数)混合 液。双喷电压为12~15 V, 电流控制在80~90 mA, 温度约为-20 ℃。利用JEM2010型透射电子显微镜 进行微观结构观察,其工作电压为200 kV。

2 结果与讨论

2.1 Al-Zr-Si合金等温时效行为

对经过固溶处理的合金进行不同温度下的等温 时效,时效后显微硬度随时间变化的曲线如图1所 示。3[#]合金中形成的粗大Si颗粒及元素分布如图2 所示。图1(a)所示为三种Al-Zr-Si合金在325 ℃的

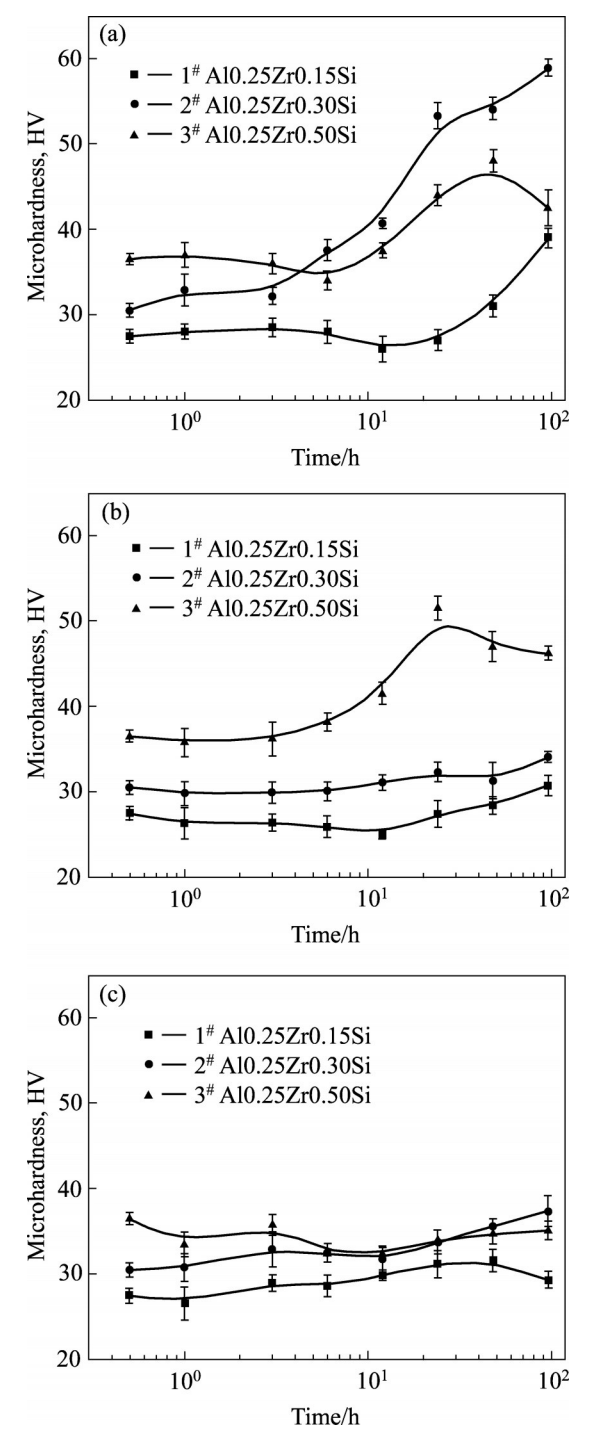


图1 Al-Zr-Si 合金在不同温度等温时效的显微硬度变化曲线

Fig. 1 Evolutions of Vickers microhardness of Al-Zr-Si alloys during isothermal aging at different temperatures: (a) 325 °C; (b) 350 °C; (c) 375 °C

等温时效硬度曲线。由图1(a)可知,1[#]、2[#]、3[#]合金 在固溶态时,3[#]合金硬度值最大(36.9 HV),2[#]合金 硬度次之,1[#]合金硬度值最小(27.5 HV)。这是由于 在固溶状态下固溶强化起主要作用,3[#]合金溶质原 子含量最多, 固溶处理后固溶于AI基体中的溶质 原子也最多,而1*合金基体中固溶的溶质原子最 少。1#、2#、3#合金在325 ℃等温时效前期硬度值 没有明显变化。1[#]合金在325 ℃等温时效24 h 后硬 度开始大幅度增长,96h后硬度值达到39.9HV, 比固溶态硬度值增长14 HV。2[#]合金在等温时效3 h 后硬度开始迅速增加,且硬度增长速率远远大于1# 合金,在96h时硬度值达到57.1HV,比2#合金固 溶态硬度值增加 25.8 HV, 涨幅为 82.43%。3[#]合金 与1#、2#合金硬度变化趋势不同,它在时效6h后 硬度开始增长,但在48h处达到峰值,其硬度值为 48.5 HV, 相比固溶态增长11.6 HV, 涨幅为 31.44%; 随后即发生过时效, 硬度值开始下降。图 1(b) 所示为三种 Al-Zr-Si 合金在 350 ℃的等温时效 硬度曲线。由图1(b)可知,1#、2#合金硬度值无明 显变化,3*合金硬度变化趋势与在325℃时相似, 但其孕育期比在325 ℃等温时效时有所缩短,并且 硬度峰值提前到来。图1(c)所示为三种Al-Zr-Si合 金在375 ℃等温时效的硬度曲线。由图1(c)可知, 与325 ℃等温时效不同的是,在375 ℃等温时效前 期,三种Al-Zr-Si合金的孕育期整体较短。这主要 是由于相较于325℃时效,在375℃时溶质原子扩 散速率更快, 析出相形核时间更短, 同时可以看到 三种合金硬度值均未发生明显变化。1#合金1h后 硬度值缓慢增加,48 h达到峰值,随后硬度值开始 下降。2[#]合金在1h后硬度一直在缓慢增加。3[#]合金 在3h后硬度值下降,随后基本保持稳定;这主要 是由于过剩的Si形成的Si颗粒(Si particles)在较高 温度粗化更加严重,它引起的硬度下降量与细小弥 散分布的第二相产生的硬化增量相抵。如图2所 示,图2(a)中衍射斑点及对该粒子的能谱分析结果 (见图 2(b)~(e))也进一步证实该析出物为 Si 颗粒, 与文献[23]模拟的Si颗粒衍射斑及实际衍射斑完全 吻合。

图 3(a)、(b)所示分别为 325 ℃、375 ℃等温时效过程中三种 Al-Zr-Si 合金的电导率变化曲线。由图 3(a)可知,1[#]、2[#]、3[#]合金的电导率均随着时效时间的延长逐渐上升。1[#]合金的电导率增长速率最为缓慢且增长幅度最小。2[#]、3[#]合金的电导率变化趋势相似,但由于 3[#]合金的 Si 含量较高所以其固溶态电导率较低。由图 3(b)可知,1[#]合金在 375 ℃等温时效时,由于 Si 含量太低同时时效温度较高,第二

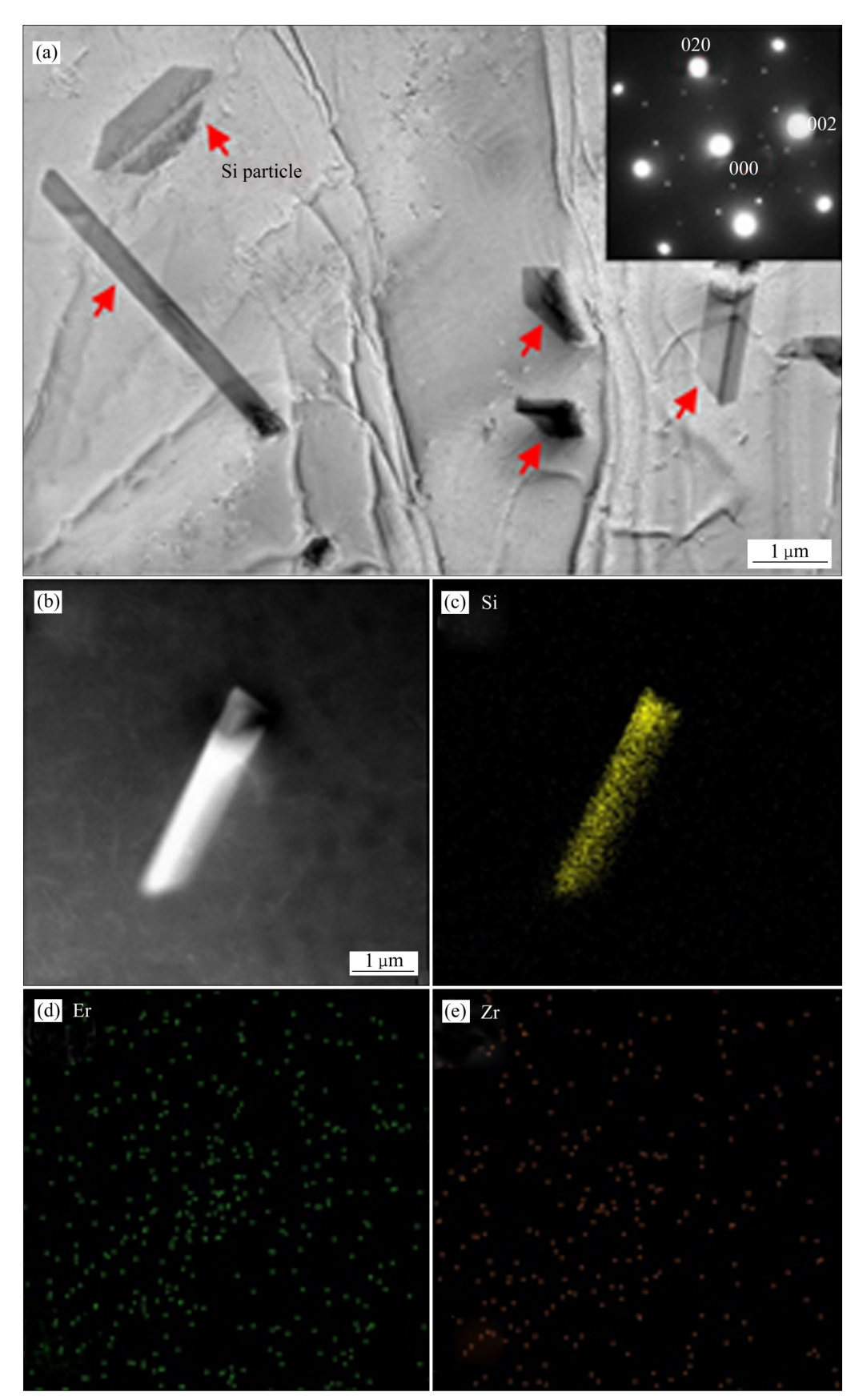


图2 3[#]合金中形成的粗大Si颗粒及元素分布

Fig. 2 Coarse Si particles formed in alloy 3[#] and element mapping: (a) Alloy 3[#]; (b) Coarse Si particle; (c) Si mapping; (d) Er mapping; (e) Zr mapping

相的时效析出动力不足,所以电导率变化甚微。 2[#]、3[#]合金的电导率整体呈现上升趋势,两者电导率增长速率大于1[#]合金。 3[#]合金在 375 ℃等温时效前期(1 h内)的电导率增长速率大于 2[#]合金,随后 2[#]、3[#]合金的电导率缓慢上升。这是由于 3[#]合金的 Si含量过高,在时效前期迅速形成富 Si 颗粒,基体中 Si含量迅速下降使其对电子散射能力减弱,载流电子的传导阻力减小,所以电导率迅速升高^[7];同时在时效后期随着第二相析出,溶质原子逐渐脱溶对电子散射能力进一步减弱,因此在时效后期两者

电导率逐渐升高。

图 4 所示为三种 Al-Zr-Si 合金在 325 ℃等温时效 96 h的微观组织暗场像(电子束由 Al基体 < 100 > 方向入射)。由图 4 可知,三种合金基体中都存在均匀分布的细小析出相,从衍射斑点可知析出的第二相仍然是 $L1_2$ 结构的 $A1_3$ Zr,与 A1基体取向关系为(001) $A1_3$ Zr//(001) $A1_4$ 、[001] $A1_3$ Zr//(001) $A1_4$ 、Si 的添加没有改变析出相结构。 2#合金与 1#、 3#合金相比,其基体中析出的第二相数密度更大。由图 2 可以看到,由于 3#合金的 Si 含量为 0.50%,其 A1基体中出现尺

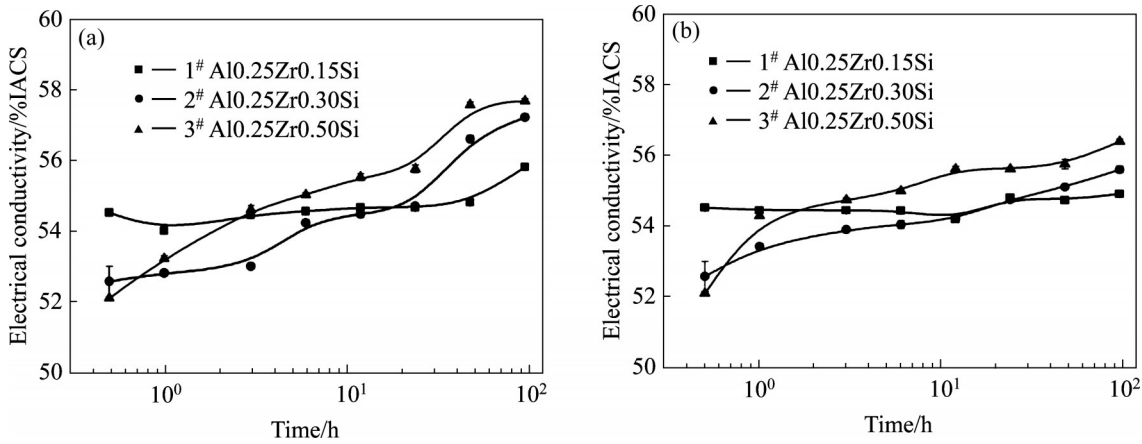


图3 Al-Zr-Si 合金在不同温度等温时效的电导率变化曲线

Fig. 3 Evolutions of electrical conductivity of Al-Zr-Si alloys during isothermal aging at different temperatures: (a) 325 $^{\circ}$ C; (b) 375 $^{\circ}$ C

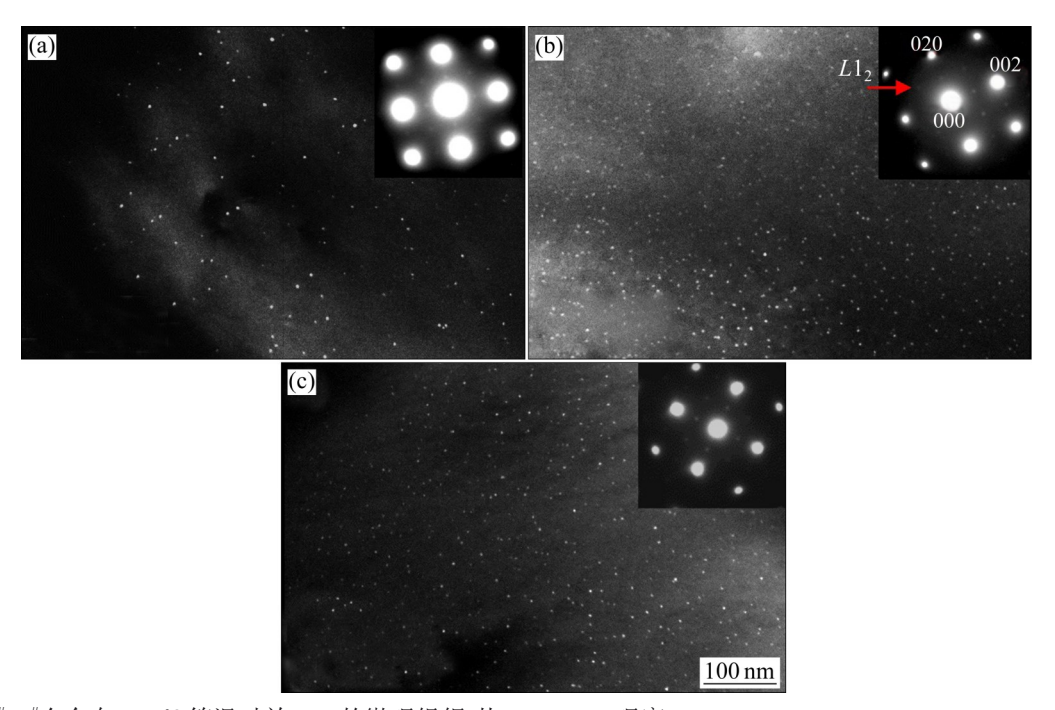


图4 1[#]、2[#]、3[#]合金在325 ℃等温时效96h的微观组织(从<100>_{Al}观察)

Fig. 4 Microstructures of alloys $1^{\#}(a)$, $2^{\#}(b)$ and $3^{\#}(c)$ during isothermal aging at 325 °C for 96 h (recorded from < 100 > Al)

寸较大的过剩相 Si 颗粒。它的出现使得用来异质形核的含 Si 原子团簇数量明显减少,进而导致 Al₃Zr 数量密度大大减少,同时较大的 Si 颗粒对时效硬化不利,这是 3[#]合金在 325 ℃、350 ℃等温时效后期硬度下降的主要原因。1[#]、2[#]合金中 Si 含量较少,因此 Al 基体中未出现过剩 Si 颗粒;但由于 1[#]合金中 Si 含量(0.15%)偏低,第二相异质形核位点(含 Si 原子团簇)也较少。由于 2[#]合金中 Si 含量为 0.30%,在无过剩的 Si 颗粒的同时异质形核位点也基本饱和,所以析出相数量密度最大,硬度增量也最高,这与硬度曲线相吻合。基于以上分析,在本文研究的 Al-Zr 合金中 0.30%的 Si 含量是其获得最大时效硬化增量的最优添加量,325 ℃是最佳等温时效温度。

由以上分析可知,随着Si含量增加,三种Al-Zr-Si 合金在时效前期的孕育期有缩短的趋势。第 一性原理计算[24]表明, Si与Si之间结合能为+0.14 eV/atom⁻¹, Si 与 V(空位)之间的结合能为+0.12 eV/ atom⁻¹(正值表示相互吸引),在淬火过程中形成 Si-Si 团簇或Si-V 团簇,为Al₃Zr析出提供形核位 点; Si与Zr原子间的结合能为+0.18 eV/atom⁻¹,也 表现为两种原子互相吸引。因此,在这种吸引力的 作用下,原本在AI基体中扩散极其缓慢的Zr原子 就会明显加快扩散^[6],最终使Zr原子从Al基体中加 速脱溶,进而使孕育期缩短。从图3可以发现,三 种合金在325℃时效时的电导率比375℃时效时增 长速率更快。这说明在325℃时效时溶质原子脱溶 更快, 因为溶质原子以固溶态存在时比以析出相形 式存在时对电导率影响更大。2[#]合金的Si含量为 0.30%, 在325 ℃等温时效时其硬度增长最快且增 幅最高,即Al-Zr合金的时效强化效果最好。1#合 金的Si含量为0.15%,由于Si含量太少,第二相赖 以异质形核的Si-Si、Si-V团簇太少, Al₃Zr数密度 太低,因此在325℃等温时效时其硬化增量不足; 3[#]合金的Si含量为0.50%,由于Si含量太高,很快 发生过时效, Al基体中形成尺寸很大的 Si 颗粒, 进而能够用于异质形核的Si-Si或Si-V(空位)团簇数 量也大量减少, Al,Zr数量密度明显下降, 因此在 325 ℃等温时效时其硬度增长低于2#合金。

2.2 Al-Zr-Si-Er 合金等温时效行为

图5所示为Al-Zr-Si-Er合金在不同温度等温时

效的硬度曲线(为便于比较, 1[#]、2[#]合金硬度曲线也一并示出)。由图 5(a)可知, 4[#]、5[#]合金固溶态硬度大于 1[#]、2[#]合金, 这是因为 4[#]、5[#]合金溶质原子含量更多, 固溶处理后固溶于基体中的溶质原子也相对较多。4[#]合金在 325 ℃等温时效 3 h 后硬度开始

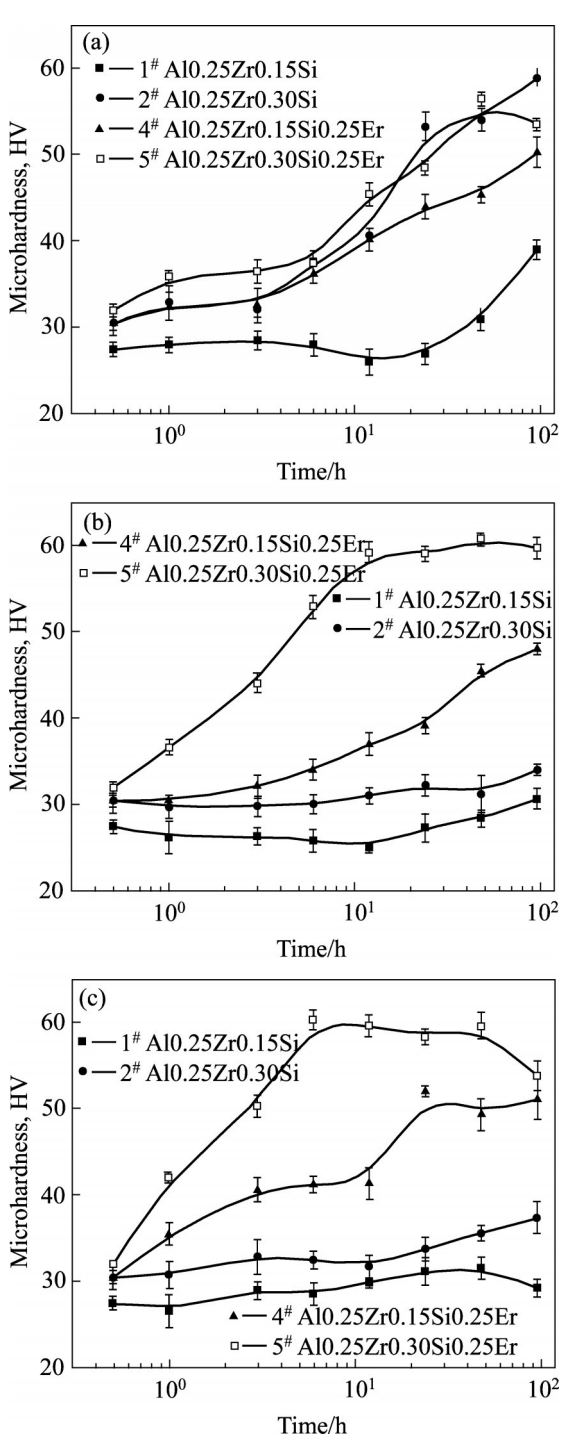


图 5 Al-Zr-Si-Er 合金在不同温度等温时效的硬度变化 曲线

Fig. 5 Evolutions of Vickers microhardness of Al-Zr-Si-Er alloys during isothermal aging at different temperatures: (a) 325 °C; (b) 350 °C; (c) 375 °C

大幅度增长,96h后硬度值达到49.8 HV,且4[#]合 金的孕育期相较于1#合金大幅缩短,这说明Er的加 入促进了第二相的析出。5#合金在325 ℃等温时效 的硬度变化趋势与4#合金基本一致,但5#合金硬度 总体高于4[#]合金。由图5(b)可知,5[#]合金在350℃ 等温时效12h内硬度迅速升高到峰值,峰值以后硬 度值基本保持稳定; 4[#]合金在350 ℃等温时效12 h 内硬度变化缓慢。由图5(c)可知,在375℃等温时 效时,相比于1#、2#合金,4#、5#合金在时效早期 (3 h内)硬度有较大提升。这是由于Er元素的扩散 速率大于Zr元素,在时效过程中Er元素优先脱溶, 而 Zr 元素相比 Er 元素脱溶需要更长的孕育期,因 此4[#]合金在3~12 h之间出现一个硬度平台期,在 12~24 h之间硬度有大幅度增长,此过程为Zr元素 的脱溶析出过程。5[#]合金由于Si含量为0.30%,极 大地促进 Zr 的脱溶析出,相应的孕育期大大缩短 或消失,它的峰值硬度(60.5 HV)高于4[#]合金(51.5 HV)且5[#]合金硬度到达峰值的时间短于4[#]合金,这 也进一步说明 Si 元素能够加快时效响应速度, 促进 强化相的析出。5#合金在375 ℃等温时效48 h后硬 度开始下降,这是析出相粗化导致的结果。以上结 果表明, Al-0.25Zr-0.30Si-0.25Er 合金最佳时效温 度为350℃,低于此温度时溶质原子脱溶不充分, 而高于此温度时析出相粗化加快。

图6所示为Al-Zr-Si-Er合金在不同温度等温时 效的电导率变化曲线(为便于比较,1*、2*电导率曲 线也一并示出)。从图6(a)可以看出,在325 ℃等温 时效时,1#与4#合金电导率变化趋势相似,2#与5# 合金电导率变化趋势相似,这说明在325℃时效时 Er的添加没有明显改变合金中第二相的析出情况。 图 5(a)中硬度变化规律(1"与 4"合金对比, 2"与 5"合 金对比)也进一步证明了这一结论。由图6(b)可以看 出,在375℃等温时效时,电导率变化规律明显不 同于在325 ℃等温时效, Er的添加明显促使电导率 快速升高 $(1^{\#}54^{\#}6金对比, 2^{\#}55^{\#}6金对比)$ 。 $4^{\#}6$ 金在375 ℃等温时效3h后电导率迅速增加,96h 后远远高于1[#]合金; 5[#]合金在375 ℃等温时效1h后 电导率开始大幅度增长,而2[#]合金的电导率则一直 在缓慢增长。这说明Er的添加进一步促进了溶质 原子的脱溶, 进而加速第二相的析出。这一结果可 以从图5(c)中硬度变化得到验证,图5(b)中硬度变 化规律也支持这一结论。

图 7 所示为 $5^{\#}$ 合金在 350 ℃等温时效 96 h 的 TEM 微观组织(电子束入射方向为 < 100 > AI)。从 图 7 中可以看出,相比于 AI-Zr-Si 合金(见图 4), $5^{\#}$

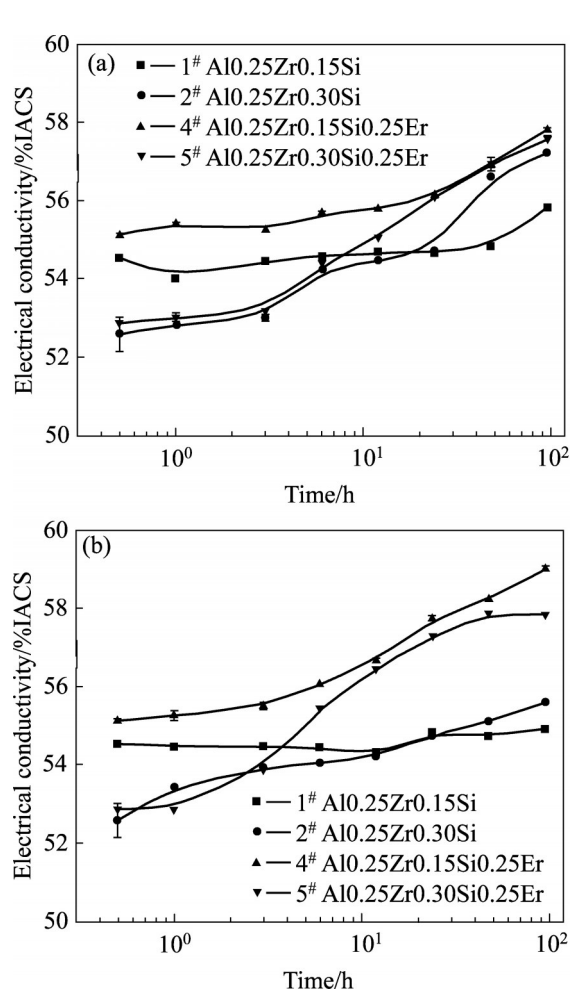


图 6 Al-Zr-Si-Er 合金在不同温度等温时效的电导率变 化曲线

Fig. 6 Evolutions of electrical conductivity of Al-Zr-Si-Er alloys during isothermal aging at different temperatures: (a) 325 $^{\circ}$ C; (b) 375 $^{\circ}$ C

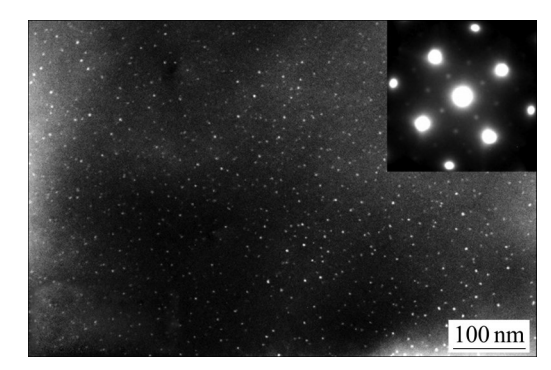


图7 5[#]合金在350 ℃等温时效96h的微观组织

Fig. 7 Microstructure of alloy $5^{\#}$ during isothermal aging at 350 $^{\circ}$ C for 96 h

合金析出相数量密度更大,由此说明 Si、Er 元素复合添加进一步促进了析出相数量密度的增加,这与前文分析硬度和电导率变化所得结论是一致的。图 7 插图中的衍射斑表明该析出相仍为 $L1_2$ 结构。赵辉等^[7]的研究表明,Al 基体中复合添加 Si、Er、Zr元素后,将形成 $A1_3$ (Er, Zr)相,呈现典型的 $L1_2$ 结

构。图 8 所示为 5 [#]合金在 350 ℃等温时效 96 h 后的 析出相能谱分析,图 8(b)~(d)所示为对应图 8(a)中 析出相的元素分布(其中 Al 元素未示出)。结果表 明,该析出相存在 Er、Zr、Si 元素的偏聚, 沿着图 8 (a)中箭头方向的线扫描谱线(见图 8(e))也证明了这 一点。因此,该析出相为(Al, Si)₃(Er, Zr),进一步

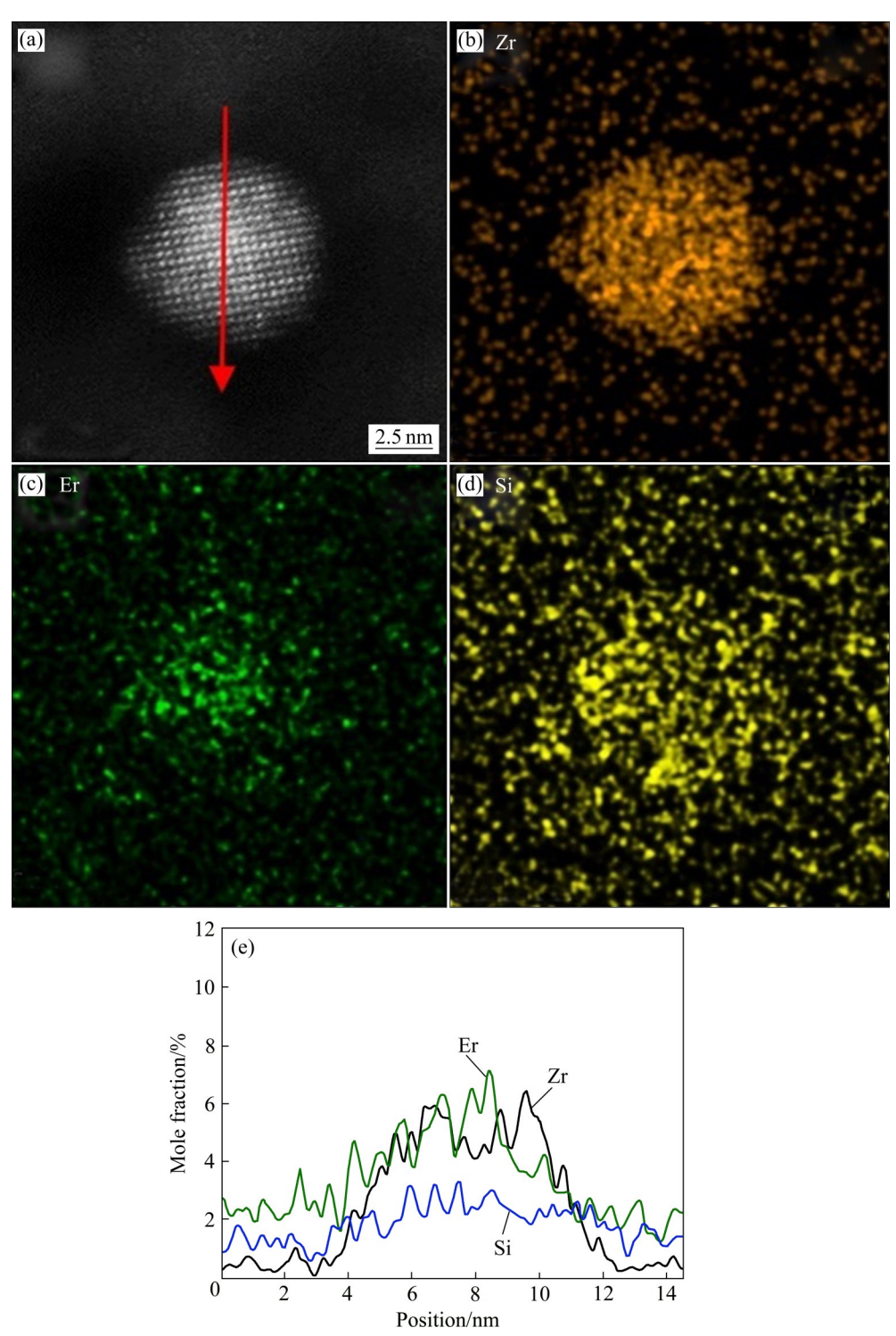


图8 5[#]合金在350 ℃等温时效96 h的析出相元素分布

Fig. 8 Element distributions of precipitate in alloy 5[#] during isothermal aging at 350 °C for 96 h: (a) TEM image; (b) Mapping of Zr; (c) Mapping of Er; (d) Mapping of Si; (e) Line scanning spectra of Zr, Er and Si shown in (a)

表明Si元素可作为该析出相的形核位点,提高析出相数量密度。研究者对Al-Zr-Si-Er-Sc 合金中析出相的能谱分析发现,其析出相中除了含有Er、Sc、Zr 元素外,还有Si 元素的富集 $[^{7,12]}$ 。DUNAND等 $[^{12,25]}$ 利用三维原子探针也证实了Si在第二相的富集。研究者指出Si 可能参与了Al $_3$ (Er, Zr)相的形成,认为Al与Si原子半径相近,在时效过程中Si可以部分地取代Al $_3$ M (M指Er、Sc、Zr)相晶格上的Al原子 $[^{7,12,25]}$ 。因此,5[#]合金在375 $\mathbb C$ 时效后期硬度略有下降可能是因为形成了(Al, Si) $_3$ (Er, Zr)相,而这种析出相的热稳定性略次于Al $_3$ Zr相。

对比Al-Zr-Si与Al-Zr-Si-Er两类合金可知,在 Al-Zr合金中单独添加Si时, Al-Zr-Si合金能够产生 时效强化效果的温度范围更窄(325 ℃)。从图5可 以看出, Al-Zr-Si合金只有在325 ℃时效时才有明 显强化效果,而在350℃、375℃时效时均无明显 强化。这可能是由于添加Si以后,形成的析出相热 稳定性下降[9], 在较高温度时效时粗化更为严重, 使得时效过程中粗化的第二相产生的沉淀强化效应 与溶质原子脱溶对固溶强化效果的削弱达到动态平 衡, 因此在350℃、375℃时效时几乎没有强化效 果。基于此假设,可以推断在更低的温度下Al-Zr-Si 合金仍有时效强化效果(在275 ℃等温时效的初 步实验结果已证实,如图9所示),但更深刻的机理 尚待进一步系统地研究。以上分析可以得出结论: 通过添加Si元素可以在较低温度下实现Al-Zr合金 的Zr原子脱溶析出。

在Al-Zr合金中复合添加Si、Er后, Al-Zr-Si-

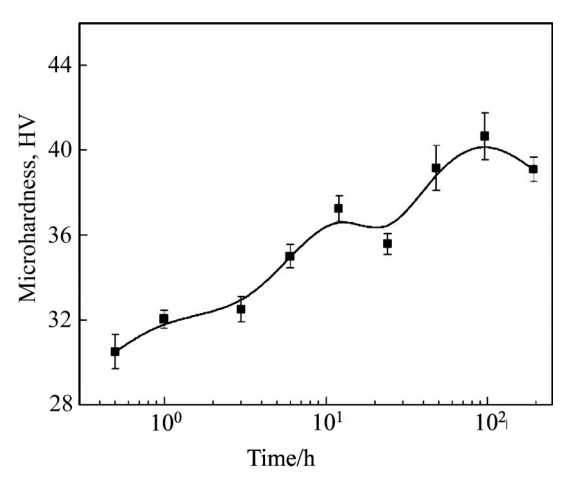


图9 2[#]合金在275 ℃等温时效硬度曲线

Fig. 9 Evolution of Vickers microhardness of alloy $2^{\#}$ during isothermal aging at 275 $^{\circ}$ C

Er 合金可产生强化效果的时效温度范围更宽(325~375°C)。尽管在不同的温度和不同 Si 含量条件下,Al-Zr-Si-Er 合金时效强化效果不尽相同,但是可以推断这个时效温度范围的拓宽主要归因于 Er 的添加。Er 的扩散速率大于 Zr,在时效过程中优先从固溶体中脱溶,可能在 Al-Zr-Si-Er 合金中先形成了 Al₃Er,在时效早期起到沉淀强化作用。随着时效过程的进行,后脱溶析出的 Zr 原子一部分包裹在 Al₃Er 的外围形成(Al, Si)₃(Er, Zr),另一部分可能形成更加细小的 Al₃Zr;先析出的 Al₃Er 由于受扩散缓慢的 Zr 原子保护其粗化受阻,进而实现协同强化,使 Al-Zr-Si-Er 合金形成其特有的时效硬化曲线,最终 Al-Zr-Si-Er 合金呈现出更加宽泛的等温时效强化温度范围。

3 结论

1) Si的添加能促进Si-Si或Si-V(空位)团簇的形成,为Al₃Zr相的异质形核提供位点,进而促进Al-Zr合金的时效硬化响应,缩短孕育期。

2)向 Al-Zr 合金中单独添加 Si 时,Si 含量为 0.30% 时为最优成分。Al-0.25Zr-0.30Si 合金的时效 最优温度为325 ℃。含 Si 团簇的形成促进第二相异质形核,使析出相数量密度大幅增加,这是其具有最高时效强化增量的主要原因。与前人研究结果相比,Si 的添加大大降低了 Al₃Zr 相的时效析出温度,主要是因为 Si 促使 Zr 原子在 Al 基体中的扩散速率加快,能够促进 Zr 原子脱溶。

3)复合添加 Er、Si 元素与单独添加 Si 元素相比, Al-Zr-Si-Er 合金的析出相数量密度更高、尺寸更小。Al-0.25Zr-0.30Si-0.25Er 合金的最佳时效温度为350 ℃。

REFERENCES

- [1] 聂祚仁, 文胜平, 黄 晖, 等. 铒微合金化铝合金的研究进展[J]. 中国有色金属学报, 2011, 21(10): 2361-2370.

 NIE Zuo-ren, WEN Sheng-ping, HUANG Hui, et al.
 Research progress of Er-containing aluminum alloy[J]. The Chinese Journal of Nonferrous Metals, 2011, 21(10): 2361-2370.
- [2] HAUGAN T, NES E, RYUM N. Precipitation reactions in Al-Zr-alloys[J]. Materials Research Society Symposia

- Proceedings, 1982, 21: 495-499.
- [3] 张旭东, 王绍青. Al₃Sc和Al₃Zr金属间化合物热力学性质的第一性原理计算[J]. 金属学报, 2013, 49(4): 501-505. ZHANG Xu-dong, WANG Shao-qing. First-principles investigation of the thermodynamics properties of Al₃Sc and Al₃Zr intermetallics[J]. Acta Metallurgica Sinica, 2013, 49(4): 501-505.
- [4] KNIPLING K E, DUNAND D C. Creep resistance of cast and aged Al-0.1Zr and Al-0.1Zr-0.1Ti (at.%) alloys at 300–400 °C [J]. Scripta Materialia, 2008, 59(4): 387–390.
- [5] WEN S P, GAO K Y, LI Y, et al. Synergetic effect of Er and Zr on the precipitation hardening of Al-Er-Zr alloy[J]. Scripta Materialia, 2011, 65(7): 592-595.
- [6] 田 园, 顾 静, 高海燕, 等. Yb 和 Si 对 Al-Zr 合金析出行为 的影响及作用机制[J]. 上海金属, 2016, 38(3): 6-10, 14. TIAN Yuan, GU Jing, GAO Hai-yan, et al. Effect of Si and Yb on precipitation behavior of Al-Zr alloys during aging[J]. Shanghai Metals, 2016, 38(3): 6-10, 14.
- [7] 赵 辉, 李红英, 赵 菲, 等. 微量 Si 对 Al-Zr-Sc-Er 合金微观组织和性能的影响[J]. 中国有色金属学报, 2020, 30(10): 2256-2266.

 ZHAO Hui, LI Hong-ying, ZHAO Fei, et al. Effect of trace Si on microstructure and properties of dilute Al-Zr-Sc-Zr alloys[J]. The Chinese Journal of Nonferrous Metals, 2020, 30(10): 2256-2266.
- [8] CLOUET E, SANCHEZ J M, SIGLI C. First principles study of the solubility of Zr in Al[J]. Physical Review B, 2002, 65(9): 094105.
- [9] HORI S, KONDO T, IKENO S. Effects of small addition of Si on the precipitation of Al-0.6%Zr alloys[J]. Journal of Japan Institute of Light Metals, 1978, 28(2): 79–84.
- [10] 冯武强, 高海燕, 王 俊, 等. Si 对 Al-Zr-Y 合金时效析出行为的影响[J]. 热加工工艺, 2019, 48(18): 111-115. FENG Wu-qiang, GAO Hai-yan, WANG Jun, et al. Effect of Si on precipitation behavior of Al-Zr-Y alloy during aging[J]. Hot Working Technology, 2019, 48(18): 111-115.
- [11] DE LUCA A, DUNAND D C, SEIDMAN D N. Microstructure and mechanical properties of a precipitation strengthened Al-Zr-Sc-Er-Si alloy with a very small Sc content[J]. Acta Materialia, 2018, 144: 80–91.
- [12] VO N Q, DUNAND D C, SEIDMAN D N. Role of silicon in the precipitation kinetics of dilute Al-Sc-Er-Zr alloys[J]. Materials Science and Engineering A, 2016, 677: 485–495.
- [13] 郭占英, 丛福官, 赵刚, 等. 均匀化前预处理对7150铝合金中 Al₃Zr 相析出及再结晶的影响[J]. 轻合金加工技术, 2016, 44(2): 21-27.
 - GUO Zhan-ying, CONG Fu-guan, ZHAO Gang, et al.

- Effects of pretreatments before homogenization on precipitation of Al₃Zr dispersoids and recrystallization resistance in 7150 aluminum alloy[J]. Light Alloy Fabrication Technology, 2016, 44(2): 21–27.
- [14] WEN S P, GAO K Y, HUANG H, et al. Role of Yb and Si on the precipitation hardening and recrystallization of dilute Al-Zr alloys[J]. Journal of Alloys and Compounds, 2014, 599: 65-70.
- [15] YU K, LI W X, LI S R, et al. Mechanical properties and microstructure of aluminum alloy 2618 with Al₃(Sc, Zr) phases[J]. Materials Science and Engineering A, 2004, 368(1/2): 88-93.
- [16] LI Y Y, WANG W H, HSU Y F, et al. High-temperature tensile behavior and microstructural evolution of cold-rolled Al-6Mg-0.4Sc-0.13Zr alloy[J]. Materials Science and Engineering A, 2008, 497(1/2): 10–17.
- [17] KENDIG K L, MIRACLE D B. Strengthening mechanisms of an Al-Mg-Sc-Zr alloy[J]. Acta Materialia, 2002, 50(16): 4165-4175.
- [18] FULLER C B, MURRAY J L, SEIDMAN D N. Temporal evolution of the nanostructure of Al(Sc, Zr) alloys: Part I—Chemical compositions of Al₃(Sc₁_xZrx) precipitates[J]. Acta Materialia, 2005, 53(20): 5401–5413.
- [19] CLOUET E, LAÉ L, ÉPICIER T, et al. Complex precipitation pathways in multicomponent alloys[J]. Nature Materials, 2006, 5(6): 482–488.
- [20] TOLLEY A, RADMILOVIC V, DAHMEN U. Segregation in Al₃(ScZr) precipitates in Al-Sc-Zr alloys[J]. Scripta Materialia, 2005, 52(7): 621–625.
- [21] RADMILOVIC V, TOLLEY A, MARQUIS E A, et al. Monodisperse Al₃(LiScZr) core/shell precipitates in Al alloys [J]. Scripta Materialia, 2008, 58(7): 529–532.
- [22] WU H, WEN S P, GAO K Y, et al. Effect of Er additions on the precipitation strengthening of Al Hf alloys[J]. Scripta Materialia, 2014, 87: 5-8.
- [23] MITLIN D, MORRIS J W, RADMILOVIC V. Catalyzed precipitation in Al-Cu-Si[J]. Metallurgical and Materials Transactions A, 2000, 31(11): 2697–2711.
- [24] BOOTH-MORRISON C, MAO Z, DIAZ M, et al. Role of silicon in accelerating the nucleation of Al₃(Sc, Zr) precipitates in dilute Al-Sc-Zr alloys[J]. Acta Materialia, 2012, 60(12): 4740–4752.
- [25] VO N Q, SEIDMAN D N, DUNAND D C. Effect of Si micro-addition on creep resistance of a dilute Al-Sc-Zr-Er alloy[J]. Materials Science and Engineering A, 2018, 734: 27-33.

Effect of Si and Er on aging precipitation behavior of Al-Zr alloys

LIANG Shang-shang, WEN Sheng-ping, LIU Qi-xiang, WU Xiao-lan, GAO Kun-yuan, HUANG Hui, NIE Zuo-ren

(Faculty of Materials and Manufacturing, Beijing University of Technology, Beijing 100124, China)

Abstract: The effect of Si and Er on the aging behavior of Al-Zr alloy was studied. The results show that the Siaddition promotes the aging strengthening effect of Al-Zr alloy, and greatly reduces the precipitation temperature of Al₃Zr precipitates. The Al-0.25Zr-0.30Si alloy obtains the maximum increment of strengthening when isothermal aging at 325 °C. The highest hardness is 57.1 HV, which is greater by 25.8 HV than that in the solid solution state. Content of 0.30% Si is optimal to obtain the maximum hardening increment for Al-0.25Zr alloy. The addition of Er further promotes the aging response of Al-Zr alloy, which widens the aging precipitation temperature range (325-375 °C) of Al-Zr alloy and the precipitates become finer and denser. Al-0.25Zr-0.30Si-0.25Er alloy has the maximum hardening increment as isothermal aging at 350 °C and the peak hardness is 60.5 HV. Because co-microalloying with Er and Si can increase the number density and refine the size of precipitates in Al-0.25Zr alloy compared with adding Si alone.

Key words: Al-Zr alloys; precipitates; aging strengthening; microalloying

Foundation item: Projects(51671005, 51701006, 51621003) supported by the National Natural Science Foundation of China; Project supported by Beijing Laboratory Project for Modern Transportation Metallic Materials and Processing Technology, China

Received date: 2021-02-25; Accepted date: 2021-09-03

Corresponding author: WEN Sheng-ping; Tel: +86-13552521441; E-mail: wensp@bjut.edu.cn

(编辑 何学锋)